

## ФОРМА ИМПУЛЬСА ВТОРОЙ ГАРМОНИКИ ПРИ ВОЗБУЖДЕНИИ СВЕРХКОРОТКИМИ ИМПУЛЬСАМИ СВЕТА

Г. В. Кривошеков, Н. Г. Никулин и Р. И. Соколовский

Изучается форма импульса второй гармоники в зависимости от формы сверхкороткого импульса накачки. Ограничиваясь первым приближением теории дисперсии, проанализировано влияние расстройки групповых скоростей взаимодействующих волн. Предложены различные аппроксимационные формулы, определяющие форму импульса второй гармоники.

Интерес к исследованию возбуждения второй гармоники в нелинейных кристаллах импульсно-модулированными волнами света [1-5] связан с появлением новых явлений, обусловленным групповым запаздыванием взаимодействующих волн.

В настоящей работе изучается зависимость формы импульса второй гармоники от формы импульса накачки. Теоретическое рассмотрение этого вопроса наталкивается на серьезные трудности, связанные с тем, что дифференциальные уравнения второго порядка с переменными коэффициентами имеют решения в известных функциях лишь в исключительных случаях.

Характерным параметром задачи является отношение  $l_k/l_\gamma$ , где  $l_k$  — так называемая квазистатическая длина, а  $l_\gamma$  — длина нелинейного взаимодействия [1-3]. При  $l_k \gg l_\gamma$  характер изменения комплексных амплитуд с координатой остается таким же, как и для монохроматических волн [1-3], и поэтому этот случай мало интересен. В другом предельном случае  $l_k \ll l_\gamma$  можно ожидать [5] [см. (3)], что форма импульса гармоники практически не будет зависеть от формы импульса накачки. При сравнимых  $l_k$  и  $l_\gamma$  необходимы аппроксимационные методы, приближенно описывающие форму импульса гармоники. Один из таких методов предложен в настоящей работе. Критерием его применимости является сравнение с точным решением, найденным в работе [3] для импульса накачки лоренцевой формы.

### Метод ВКБ

Представим поле в кристалле в виде суммы двух волн с частотами  $\omega$  и  $2\omega$  соответственно

$$E(t, \mathbf{r}) = \mathbf{e}_1 \bar{A}_1(t, \mathbf{r}) e^{i(\omega t - \mathbf{k}_1 \mathbf{r})} + \mathbf{e}_2 \bar{A}_2(t, \mathbf{r}) e^{i(2\omega t - \mathbf{k}_2 \mathbf{r})}. \quad (1)$$

Будем считать, что нелинейная среда занимает пространство  $z > 0$  и ось  $z$  направлена в среду. Для медленных амплитуд  $\bar{A}_1$ ,  $\bar{A}_2$  справедливы следующие уравнения [2]:

$$\left. \begin{aligned} \frac{\partial \bar{A}_1}{\partial z} + \frac{1}{u_1} \frac{\partial \bar{A}_1}{\partial t} &= -i\gamma_1 \bar{A}_2 \bar{A}_1^* e^{i\Delta k z}, \\ \frac{\partial \bar{A}_2}{\partial z} + \frac{1}{u_2} \frac{\partial \bar{A}_2}{\partial t} &= -i\gamma_2 \bar{A}_1^2 e^{-i\Delta k z}, \end{aligned} \right\} \quad (2)$$

где  $u_1, u_2$  — групповые скорости волн,  $\Delta k = 2k_{1z} - k_{2z}$  — расстройка волновых векторов,  $\gamma_{1,2}$  — нелинейные константы. Перейдем в уравнениях (2) от комплексных амплитуд  $\bar{A}_{1,2}$  к действительным  $A_{1,2}$ , положив

$$\bar{A}_{1,2} = A_{1,2} \exp\{i\varphi_{1,2}(z)\}. \quad (3)$$

Подставляя (3) в (2), можно убедиться, что система уравнений (2) оказывается эквивалентной следующей системе уравнений для действительных функций:

$$\frac{\partial A_1}{\partial z} + \frac{1}{u_1} \frac{\partial A_1}{\partial t} + \gamma_1 A_1 A_2 \sin \Phi = 0, \quad (4a)$$

$$\frac{\partial A_2}{\partial z} + \frac{1}{u_2} \frac{\partial A_2}{\partial t} - \gamma_2 A_1^2 \sin \Phi = 0, \quad (4б)$$

$$\frac{\partial \Phi}{\partial z} + \Delta k + (2\gamma_1 A_2 - \gamma_2 \frac{A_1^2}{A_2}) \cos \Phi = 0, \quad (4в)$$

где  $\Phi = 2\varphi_1 - \varphi_2 - \Delta k z$ . Предположим выполненным условие синхронизма ( $\Delta k = 0$ ). В этом случае уравнение (4в) имеет стационарное решение  $\Phi \equiv \pi/2$ , и остаются два уравнения (4а), (4б), причем  $\gamma_1 = \gamma_2 = \gamma$  в силу свойств симметрии тензора нелинейной поляризации [1]. Систему уравнений (4а), (4б) ( $\Phi \equiv \pi/2$ ) следует дополнить приближенными граничными условиями [1]

$$A_1|_{z=0} = A_{10}(t), \quad A_2|_{z=0} = 0. \quad (5)$$

Уравнения (4а), (4б) оказываются эквивалентными одному нелинейному уравнению [3]. Чтобы найти последнее, нужно продифференцировать (4б) по  $z$  и по  $t$ , а затем с помощью (4а) исключить производные от  $A_1$  по  $z$  и  $t$ . Из получившегося уравнения  $A_1$  исключается с помощью (4б). Таким образом, приходим к уравнению для одной только амплитуды  $A_2$ . Воспользовавшись граничными условиями (5), его можно представить в виде

$$\frac{\partial A_2}{\partial z} + \frac{1}{u_1} \frac{\partial A_2}{\partial t} + \gamma A_2^2 = \gamma A_{10}^2 \left( t - \frac{z}{u_2} \right). \quad (6)$$

Если теперь провести замену переменных

$$z \rightarrow \bar{z}, \quad t \rightarrow \eta = t - \frac{z}{u_1}, \quad (7)$$

то (6) можно представить в виде (3)

$$\frac{dA_2}{d\bar{z}} + \gamma A_2^2 = \gamma A_{10}^2 (\eta - \nu \bar{z}), \quad (8)$$

где  $\nu = \frac{1}{u_2} - \frac{1}{u_1}$  характеризует расстройку групповых скоростей импульсов накачки и второй гармоники.

Удобно перейти к безразмерным функциям и аргументам, полагая

$$A_{10} = A_0 \varphi \left( \frac{t}{\tau} \right), \quad A_2 = A_0 f(\bar{z}), \quad \bar{z} = \frac{z}{l_k}, \quad \int_{-\infty}^{+\infty} \varphi^2(\xi) d\xi = 1, \quad (9)$$

$l_k = \tau/\nu$  — квазистатическая длина. Функция  $f(\bar{z})$  удовлетворяет уравнению

$$\frac{df(\bar{z})}{d\bar{z}} + \frac{l_k}{l_\gamma} f^2(\bar{z}) = \frac{l_k}{l_\gamma} \varphi^2(\xi - \bar{z}), \quad (10)$$

где  $l_\gamma = (\gamma A_0)^{-1}$  — длина нелинейного взаимодействия,  $\xi = \eta/\tau$ . Введем функцию  $F(\bar{z})$  такую, что

$$f(\bar{z}) = \frac{l_\gamma}{l_k} \frac{1}{F(\bar{z})} \frac{dF(\bar{z})}{d\bar{z}}. \quad (11)$$

Подставляя (11) в (10), найдем, что

$$\frac{d^2 F(z)}{dz^2} - \left(\frac{l_k}{l_\gamma}\right)^2 \varphi^2(\xi - z) F(z) = 0. \quad (12)$$

Асимптотическое решение этого уравнения ( $l_k/l_\gamma \gg 1$ ) может быть найдено методом ВКБ [6, 7] и является линейной комбинацией функций

$$F_{\mp}(z) = \frac{1}{\sqrt{\varphi(\xi - z)}} \exp \left\{ \mp \frac{l_k}{l_\gamma} \int_0^z \varphi(\xi - z') dz' \right\}. \quad (13)$$

Соответствующие коэффициенты выбираются так, чтобы удовлетворить граничным условиям (5). Таким образом, приходим к формуле

$$f(z) = \left[ \varphi(\xi - z) - \frac{l_\gamma \varphi'(\xi - z)}{l_k 2\varphi(\xi - z)} \right] \frac{\alpha(z) - \alpha(0) \exp \left\{ -\frac{2l_k}{l_\gamma} \int_0^z \varphi(\xi - z') dz' \right\}}{1 + \alpha(0) \exp \left\{ -\frac{2l_k}{l_\gamma} \int_0^z \varphi(\xi - z') dz' \right\}}, \quad (14)$$

где

$$\alpha(z) = \frac{\varphi(\xi - z) + \frac{l_\gamma \varphi'(\xi - z)}{l_k 2\varphi(\xi - z)}}{\varphi(\xi - z) - \frac{l_\gamma \varphi'(\xi - z)}{l_k 2\varphi(\xi - z)}}. \quad (15)$$

Формула (14) тем точнее, чем меньше отношение  $l_\gamma/l_k$ .

При сравнимых  $l_\gamma$  и  $l_k$  характер приближения (14) может быть установлен путем сравнения с точным решением [3] для лоренцева импульса накачки (рис. 1). Из приведенных графиков, первый из которых построен по формуле (14), а второй по соответствующей формуле из работы [3], видно, что согласие точного и приближенного решения даже при  $l_\gamma = l_k$  удивительно хорошее.

#### Форма импульса второй гармоники при $l_k \ll l_\gamma$

Обратимся к анализу того предельного случая, когда  $l_k \ll l_\gamma$ . Рассмотрим сначала решение уравнения (10) в приближении заданного поля. Соответствующее приближенное решение аппроксимирует точное на расстояниях  $z \ll l_\gamma$ . Пренебрежем в уравнении (10) членом  $\frac{l_k}{l_\gamma} f^2$ , как членом более высокого порядка малости по отношению к оставшимся. Таким образом, мы приходим к уравнению, решение которого находится без труда,

$$f(z, \xi) = \frac{l_k}{l_\gamma} \int_0^z \varphi^2(\xi - z') dz'. \quad (16)$$

Формулу (16) можно рассматривать как свертку импульса  $\varphi^2(\xi)$  с щелевой аппаратной функцией  $\zeta(z) = \Theta(z) \Theta(z - z')$ , где  $\Theta(z)$  — функция, равная единице при  $z \geq 0$  и нулю при  $z < 0$ . При  $z \ll 1$  форма импульса второй гармоники является точным квадратом импульса накачки, а величина его пропорциональна  $z$ , т. е. ширине щели. В другом предельном случае  $z \gg 1$  ширина импульса второй гармоники приблизительно равна  $\tau z$ , т. е. определяется шириной аппаратной функции. Форма импульса близка к прямоугольнику [5]. Для иллюстрации сказанного вычислим по формуле (16) контур импульса второй гармоники для следующего импульса накачки:

$$\varphi(\xi) = \frac{1}{\sqrt{\pi}} (1 + \xi^2)^{-1/2}. \quad (17)$$

Подставляя (17) в (16), найдем, что

$$f(z, \xi) = \frac{l_k}{l_\gamma} \frac{1}{\pi} \{ \arctg \xi - \arctg(\xi - z) \} \quad (18)$$

в полном согласии с высказанными выше качественными соображениями.

Вернемся теперь к точному уравнению (10) и проанализируем его решение при  $z \gg 1$ . Заменой переменной  $\bar{z} = \frac{l_\gamma}{l_k} x$  уравнение (10) можно привести к виду

$$\frac{df}{d\bar{z}} + f^2 = \varphi^2 \left( \bar{\xi} - \frac{l_\gamma}{l_k} x \right). \quad (19)$$

Функция в правой части уравнения (19) отлична от нуля в интервале  $\left[ x_0 - \frac{l_k}{l_\gamma}, x_0 + \frac{l_k}{l_\gamma} \right]$ , где  $x_0 = \frac{l_k}{l_\gamma} \xi$ , и интеграл от нее равен  $l_k/l_\gamma$ . При доста-

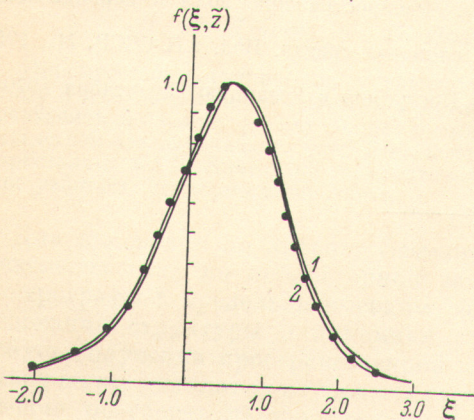


Рис. 1. Графики функции  $f(\xi, z)$ , нормированные на единицу ( $l_k/l_\gamma=1, z=1$ ).  
1 — кривая, построенная по формуле (14);  
2 — кривая, взятая из работы [3].

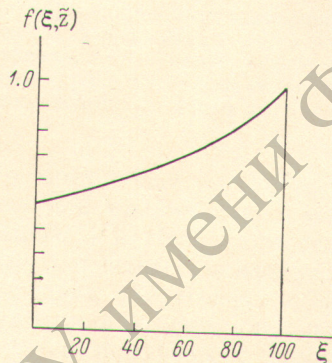


Рис. 2. График функции  $f(\xi, z)$ , построенной по формуле (21) при  $l_k/l_\gamma=0.1, z=100$ .

точно малом отношении  $l_k/l_\gamma$  функцию  $\varphi^2$  можно считать пропорциональной  $\delta(x - x_0)$ -функции и тем самым приближенно представить уравнение (19)

$$\frac{df}{d\bar{z}} + f^2 = \frac{l_k}{l_\gamma} \delta(x - x_0). \quad (20)$$

Нетрудно проверить, что функция

$$\frac{1}{x - x_0 + \frac{l_k}{l_\gamma}} \{ \Theta(x_0) - \Theta(x_0 - x) \} \quad (x_0 > 0)$$

удовлетворяет уравнению (20), а следовательно,

$$f(z, \xi) \approx \frac{l_k}{l_\gamma} [\Theta(\xi) - \Theta(\xi - z)] \frac{1}{1 + \left(\frac{l_k}{l_\gamma}\right)^2 (z - \xi)}. \quad (21)$$

Графики этой функции изображены на рис. 2. Сопоставляя (21) с (18), видим, что резкие изломы в точках  $\xi = 0$  и  $\xi = z$  связаны с  $\delta$ -аппроксимацией импульса накачки и должны быть заменены плавными кривыми в единичной окрестности этих точек.

### Заключение

Рассмотрены особенности процесса возбуждения второй гармоники импульсно-модулированными волнами в нелинейном кристалле. Из проведенного исследования видно, что с ростом параметра  $l_\gamma/l_k$  импульс вто-

рой гармоника деформируется так, что в пределе  $l_r/l_k \rightarrow \infty$  при достаточно большой длине кристалла ( $l \gg l_k$ ) он практически не зависит от формы породившего его импульса накачки. При этом длительность импульса второй гармоники может на один-два порядка превосходить длительность импульса накачки. Последнее явление может быть использовано при измерении длительности импульсов короче и порядка  $10^{-13}$  сек.

#### Литература

- [1] Н. Бломберген. Нелинейная оптика. Изд. «Мир», М., 1966.
- [2] С. А. Ахманов, Р. В. Хохлов. Проблемы нелинейной оптики. Изд. АН СССР, М., 1964.
- [3] С. А. Ахманов, А. П. Сухоруков, А. С. Чиркин. ЖЭТФ, 55, 1430, 1968.
- [4] W. H. Glenn. IEEE, QE-5, 284, 1969.
- [5] J. Comply, E. Garmire. Appl. Phys. Lett., 12, 7, 1968.
- [6] Л. Бриллюэн, М. Пароди. Распространение волн в периодических структурах. ИЛ, М., 1959.
- [7] Л. М. Бреховских. Волны в слоистых средах. Изд. АН СССР, М., 1957.

Поступило в Редакцию 22 октября 1970 г.